

FOTO N° 1.- CALIZAS Y DOLOMIAS DEL TRIASICO MEDIO (F.M.) (T_{G2}) . OBSERVESE EL FINO TABLEADO, ASI COMO SU FUERTE BUZAMIENTO.



FOTO Nº 10.- DETALLE DEL AFLORAMIENTO BARREMIENSE DE LA FOTOGRAFIA ANTERIOR. (C_{14})



FOTO Nº 11.- DETALLE DE LAS CALIZAS CON TOUCASIA DEL APTIENSE (C_{15})



FOTO Nº 12.- ARENAS Y MARGAS DE LA FORMACION UTRILLAS. (C_{16})



FOTO Nº 13.- PANORAMICA DEL ALBENSE (C_{16}) , EN FACIES UTRILLAS, Y DEL CENOMANIENSE INFERIOR (C^{3-12}_{16-21}) EN LAS PROXIMIDADES DE VILLA DE VES. AL FONDO DEPOSITOS NEOGENOS.



FOTO N^{O} 14.- DETALLE DE CALCARENITA DEL CENOMANIENSE INFERIOR. (C^{3-12}_{16-21})



FOTO Nº 15.- ASPECTO DE LAS CALIZAS DEL CENOMANIENSE INFERIOR. (C^{3-12}_{16-21})



FOTO Nº 16.- DETALLE DEL NIVEL MARGOSO VERDE, DE LA BASE DEL CENOMANIENSE MEDIO-SUPERIOR. (C_{21-23}^{23-0})



FOTO Nº 17.- ASPECTO DE LA ESTRATIFICACION DE LAS DOLOMIAS DEL CENOMANIENSE MEDIO-SUPERIOR (C^{23-0}_{21-23})



FOTO Nº 18.- VISTA PARCIAL DE DOLOMIAS NODULOSAS DE LA BASE DEL SANTONIENSE, EN LAS PROXIMIDADES DE EL VILLAR. (C_{24})



FOTO Nº 19.- VISTA PARCIAL DE LAS CALIZAS DEL SANTONIENSE (C_{24}) . EN LA HOZ DEL JUCAR. AL FONDO DEPOSITOS NEOGENOS EN CLARA DISCORDANCIA.



FOTO Nº 2.- DETALLE EN SUPERFICIE DE LAS CALIZAS DEL TRIASICO SUPERIOR (F.M.)(T_{G2}), OBSERVESE LA CANTIDAD DE PISTAS DE GUSANOS QUE PRESENTA EL NIVEL.

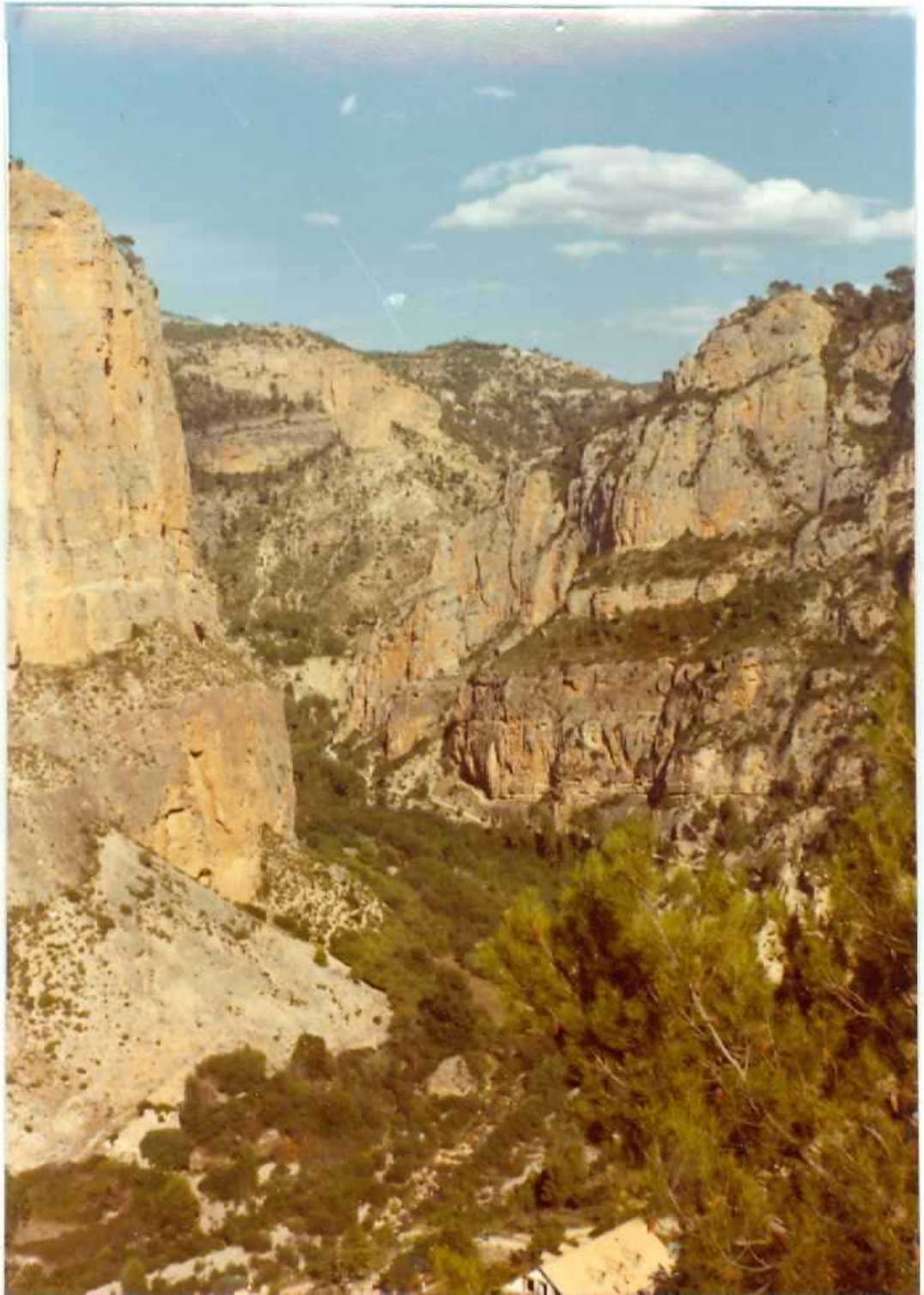


FOTO Nº 20.- PANORAMICA DE LA HOZ DEL JUCAR. EN AMBAS MARGENES LAS CALIZAS DEL SANTONIENSE. (C_{24})



FOTO Nº 21.- DETALLE DE CALIZA CON LACAZINAS DEL SANTONIENSE (C_{24})



FOTO Nº 22.- PANORAMICA DE LA UNIDAD DETRITICA RIO JUCAR, EN LAS PROXIMIDADES DE VILLA DE VES. (T^{Ba}_{C1})



FOTO Nº 23.- DETALLE DE LA UNIDAD REPRESENTADA EN LA FOTOGRAFIA ANTERIOR.



FOTO Nº 24.- DEPOSITOS NEOGENOS EN DISCORDANCIA SOBRE UNIDADES CRETACICAS. (CUENCA DEL JUCAR).

1.- CRETACICO.

2.- DETRITICO INFERIOR. (T^{Bc2-B}_{C12-2})

3.- FORMACION CALIZAS DEL RIO JUCAR. (T^{Bc2-B}_{C12-21})



FOTO Nº 25.- VISTA PARCIAL DE LAS CALIZAS Y MARGAS DE LA FORMACION DE CALIZAS Y MARGAS DEL RIO JUCAR, EN LAS PROXIMIDADES DE ALCALA DEL JUCAR. (T_{C12-21}^{Bc2-B} cm)



FOTO Nº 26.- DETALLE DE UN NIVEL MARGOSO CON ABUNDANTE FAUNA DE MOLUSCOS CORRESPONDIENTE A LA FOTOGRAFIA ANTERIOR.



FOTO Nº 27.- PANORAMICA DE LA FORMACION DE CALIZAS DEL RIO JUCAR (T^{Bc2-B}_{C12-21}), VISTA DESDE CASAS DEL CEBRO. AL TECHO DE LA SERIE LA UNIDAD DETRITICA SUPERIOR. ($T^{B}_{2}m$)



FOTO Nº 28.- VISTA PARCIAL DE LOS DEPOSITOS NEOGENOS DE LA CUENCA DEL RIO JUCAR.

1.- UNIDAD DETRITICA DEL RIO JUCAR.

2.- UNIDAD DETRITICA INFERIOR.

3.- FORMACION CALIZAS DEL RIO JUCAR.



FOTO Nº 29.- PANORAMICA DE LOS DEPOSITOS CALCAREOS CON INTERCALACIONES DETRITICAS, EN LA CUENCA DEL CABRIEL. ($T^{Bc2-B}_{cma\ C12-21}$)



FOTO Nº 3.- VALLE DEL CABRIEL. AL FONDO SECUENCIA LITOLOGICA DEL TRIASICO MEDIO Y SUPERIOR.

1.- F. MUSCHELKALK
2.- ARCILLAS, YESOS Y ARENISCAS.
3.- ARENISCAS Y ARCILLAS.
4.- ARCILLAS ROJAS.
5.- YESOS ROJOS Y BLANCOS.
6.- DOLOMIAS Y CARNIOLAS.



FOTO N^{O} 30.- VISTA PARCIAL DE UN AFLORAMIENTO DE LA UNIDAD DE ARCILLAS YESIFERAS ($T_{a\ C12}^{Bc2}$) EN LA CUENCA DEL RIO CABRIEL.



FOTO Nº 31.- DETALLE DE LA UNIDAD REPRESENTADA EN LA FOTOGRAFIA ANTERIOR.



FOTO Nº 32.- VISTA PARCIAL DE UN NIVEL ARENOSO DEL MIEMBRO LOS ISIDROS (T^{8c2}_{cg} C12) EN LA CUENCA DEL CABRIEL. EN LA PARTE ALTA INTERCALACION CALCOMARGOSA.



FOTO N° 33.- DETALLE DE LA UNIDAD REPRESENTADA EN LA FOTOGRAFIA ANTERIOR.



FOTO Nº 34.- VISTA PARCIAL DE UN AFLORAMIENTO DE CALIZAS Y MARGAS PERTENECIENTES AL MIEMBRO MIRADOR (CUENCA DEL CABRIEL). ($T^{Bc2-B}_{cma\ C12-21}$)



FOTO Nº 35.- VISTA PARCIAL DE NIVELES CALCOMARGOSOS MUY FOSILIFEROS PERTENECIENTES AL MIEMBRO MIRADOR ($T^{Bc2-B}_{cma\ C12-21}$) (C. CABRIEL).



FOTO N^{O} 36.- VISTA PARCIAL DE LA UNIDAD DETRITICA SUPERIOR (T^{B}_{am}), EN LAS PROXIMIDADES DE CASAS DEL CERRO.



FOTO Nº 37.- VISTA PARCIAL DE LA UNIDAD (Q_1G) EN LAS PROXIMIDADES DE CASAS DEL CERRO.



FOTO Nº 38.- PANORAMICA DE LA UNIDAD (Q_1G). AL FONDO LA HOZ DEL JUCAR. EN PRIMER TERMINO RELIEVE CRETACICO.



FOTO Nº 39.- VISTA GENERAL DE DERRUBIOS DE LADERA (Q_2 L) EN LA HOZ DEL JUCAR. EN LA PARTE ALTA LA FORMACION CALIZAS DEL RIO JUCAR. ($T^{Bc2-B}_{cm\ C12-21}$)



FOTO Nº 4.- ANTICLINAL EN YESOS BLANCOS Y ROJOS DEL TRIASICO SUPERIOR (F.K.) (T_{G3}) EN LAS PROXIMIDADES DEL RIO CABRIEL.



FOTO N^{O} 40.- PANORAMICA DE LA UNIDAD DE GRAVAS Y ARCILLAS ARENOSAS ROJAS. (Q_1)



FOTO Nº 41.- VISTA PARCIAL DE UNA TERRAZA DEL RIO CABRIEL, CON NIVEL TRAVERTINICO AL TECHO. (Q_1 T) y (Q_{1-2} Tr)

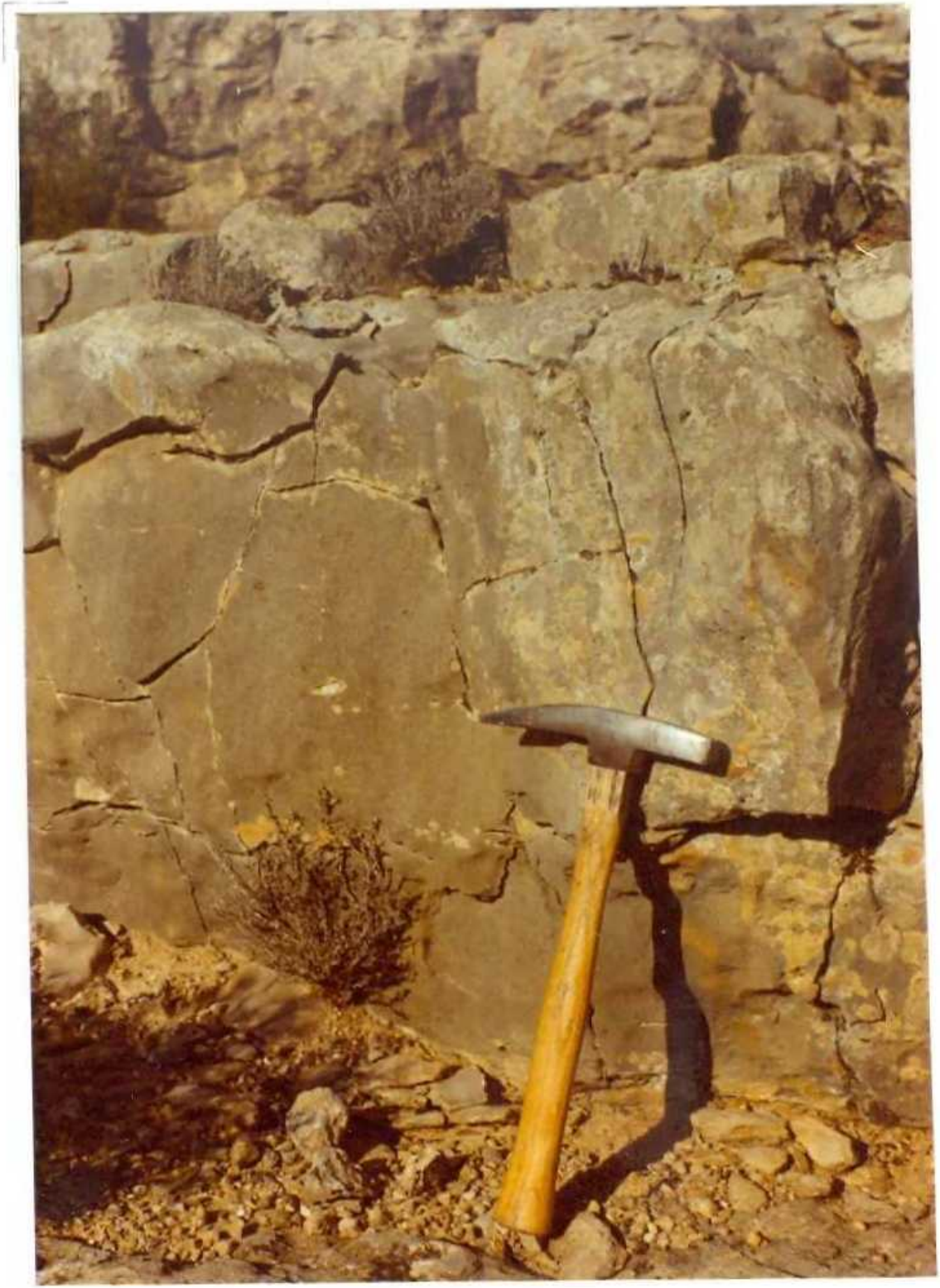


FOTO Nº 5.- ASPECTO GENERAL QUE PRESENTAN LAS DOLOMIAS SUPERIORES DEL TRIASICO SUPERIOR. (T_{G3}^{d})



FOTO Nº 6.- DETALLE DE LAS DOLOMIAS DE LA PARTE ALTA DEL TRIASICO SUPERIOR. (T_{G3d})

FOTO Nº 7.- DETALLE DE LAS CALIZAS OOLITICAS DEL KIMMERIDGIENSE MEDIO. (J_{32}^{2})



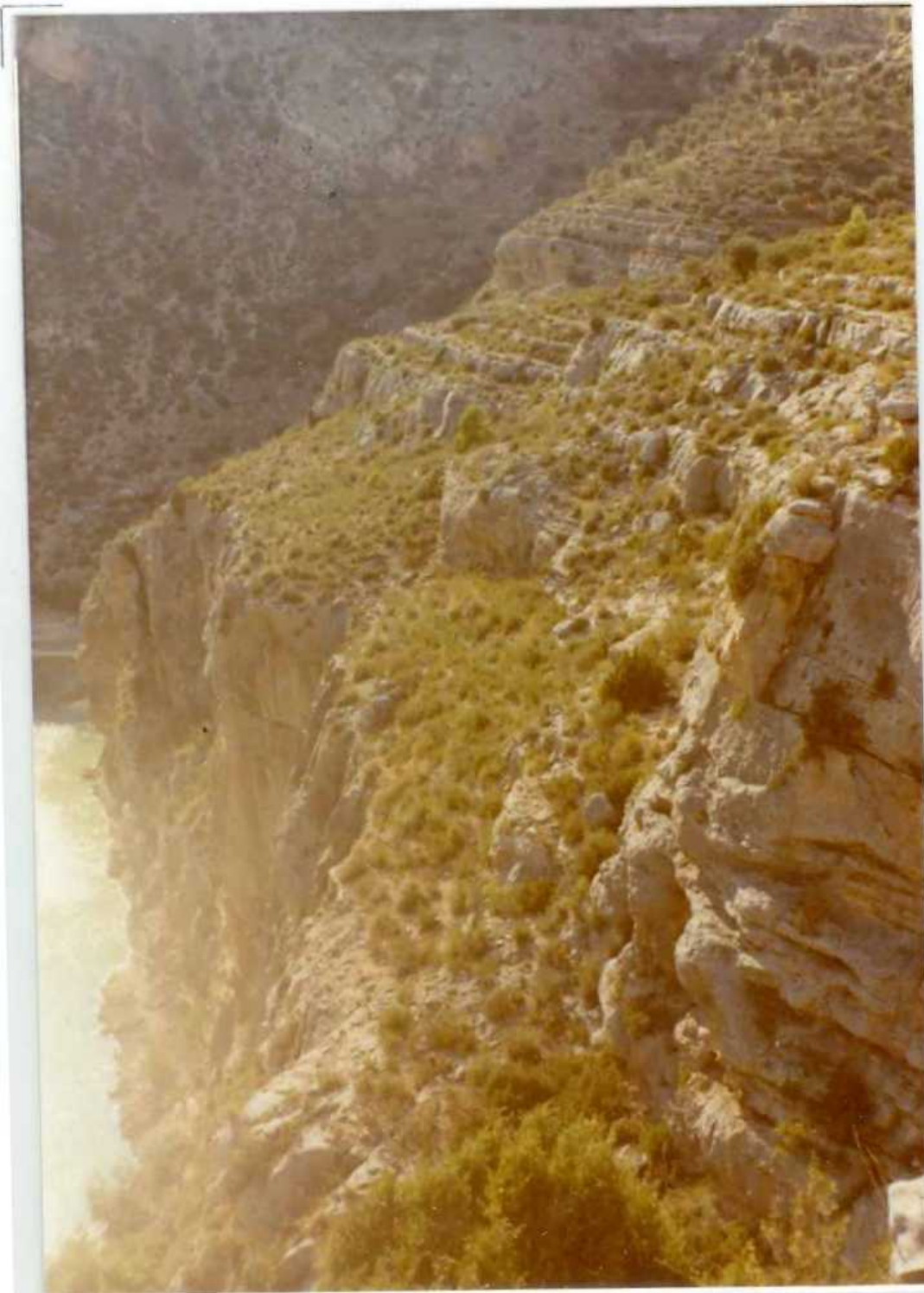


FOTO Nº 8.- VISTA PARCIAL DEL KIMMERIDGIENSE MEDIO, EN LA MARGEN IZQUIERDA DEL RIO JUCAR, EN LAS PROXIMIDADES DE VILLA - DE VES. (J^{2}_{32})

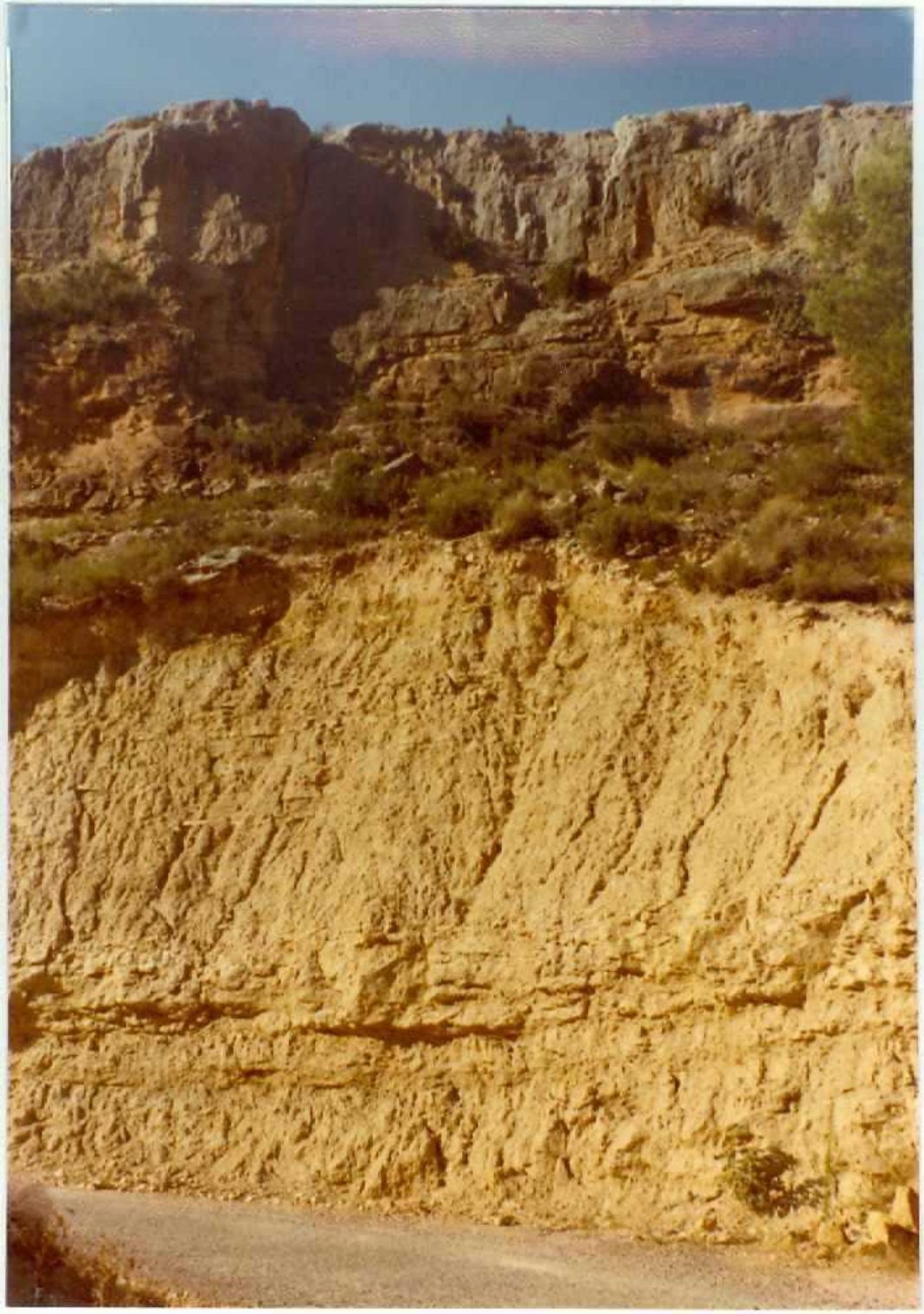


FOTO Nº 9.- VISTA PARCIAL DE LAS MARGAS Y ARENISCAS DEL BARREMIENSE (C_{14}) EN LAS PROXIMIDADES DE VILLA DE VES. EN LA PARTE SUPERIOR LAS CALIZAS DEL APTIENSE. (C_{15})